

# On Heegaard diagrams of $S^3$

筑波大 数学系 金平 武司

## 0. 序

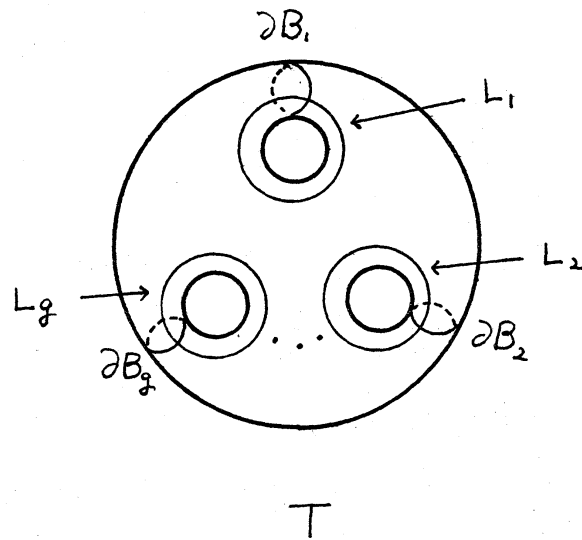
二つの話題について述べる。最初に,  $S^3$  の Heegaard diagram による基本群の表示に関する一つの reduction theorem を一般の種数について示し, これを種数2の場合に適用して, relators の相互代入による表示の簡略化の可能性 (c.f. [3], [4], [5]) についての現状を報告する。

次に, 相互代入は代数的 (or homotopy 的な) 性質であるが, 直接, diagram を幾何的に簡略化する手法として, wave ([10], [1]) or cut-vertex in [11]) の概念がある。両者の関係について, 種数3以上では互に独立であることを例によって示す。

## 1. A reduction theorem

$M$  を向き付け可能な3次元閉多様体,  $T$  を種数  $g$  の

solid torus,  $\partial T$  をその境界とする。T の標準的  
 な longitudinal system 及び meridian system  
 を, それぞれ,  $A = \{L_1, \dots, L_g\}$ ,  $B = \{\partial B_1, \dots, \partial B_g\}$   
 とする。(下図参考)



$D = (\partial T; C_1, C_2)$  を  $M$  (を表わす一つ) の  
 Heegaard diagram (正確な定義は [1] 参照) とする。  
 $C_2$  の各 loop に沿って  $C_1$  の各 loop との交わりを順に  
 読み取って得られる  $\pi_1(M)$  の表示を  $\pi_1(D) = \langle a_1, \dots, a_g;$   
 $r_1, \dots, r_g \rangle$  とする。各 relator  $r_i$  は文字  $a_1^{\pm}, \dots, a_g^{\pm}$   
 による word である。  $r_i$  の cyclically reduced  
 form を  $\tilde{r}_i$  とする。(i.e.  $\tilde{r}_i$  はどんな cyclic  
 permutation を施しても  $a_j a_j^{-1}$  のような

部分を含まない。)  $\pi_1(D)$  の *cyclically reduced form*, i.e.  $\langle a_1, \dots, a_g; \hat{\tau}_1, \dots, \hat{\tau}_g \rangle$  を  $\hat{\pi}_1(D)$  と書くことにする。

定理1.  $S^3$  の任意の Heegaard diagram  $D = (\partial T; C_1, C_2)$  に対し,  $S^3$  の Heegaard diagram  $D_0$  で次を満たすものが存在する:

- (1)  $D_0 = (\partial T; \emptyset, \mathcal{Y}_0 \circ \mathcal{K} \emptyset)$  ( $\equiv (\partial T; \mathcal{K} \alpha, \emptyset)$ ,  $\equiv$  は同値の意), ニニに  $\mathcal{Y}_0$  は  $S^3$  の標準的な Heegaard sewing, i.e.  $\partial T$  上の向きを保つ homeomorphism で  $\mathcal{Y}_0(\partial B_i) = L_i$ , 又,  $\mathcal{K}$  は  $T$  上の向きを保つ homeomorphism.
- (2)  $\hat{\pi}_1(D_0) \equiv \hat{\pi}_1(D)$ , ニニに,  $\equiv$  は relations の cyclic permutation 及び inversion による違いを除いて等しいの意。

注。一般に  $S^3$  の Heegaard diagram  $D$  は同値な diagram  $\mathcal{Y}D = (\partial T; \mathcal{Y}C_1, \mathcal{Y}C_2)$  ( $\mathcal{Y}$  は  $\partial T$  上の向きを保つ homeomorphism) で  $\mathcal{Y}D = (\partial T; \emptyset, \mathcal{Y}\mathcal{Y}_0 \circ \mathcal{K} \emptyset) \dots \textcircled{1}$  ( $\mathcal{Y}, \mathcal{Y}_0$  は  $T$  上の向きを保つ homeomorphism) の形

に出来る (Waldhausen)。定理1の主張は「cyclically reduced presentation  $\tilde{\pi}_1(D)$  を考える上では、①において、更に、 $g=1$ として良い」ということである。

定理の証明のため、命題を一つ用意する。

命題.  $D$  を Heegaard diagram  $(\partial T; \mathcal{C}, \mathcal{C})$  とし, cyclically reduced presentation  $\tilde{\pi}_1(D) = \langle a_1, \dots, a_g; \tilde{r}_1, \dots, \tilde{r}_g \rangle$  の各 relator  $\tilde{r}_i$  を表わす word を  $W_i(a_1, \dots, a_g)$  とする。このとき, 任意の向きを保つ homeomorphism  $g: T \rightarrow T$  によって得られる Heegaard diagram  $D_1 = (\partial T; \mathcal{C}, g\mathcal{C})$  に対し, その cyclically reduced presentation  $\tilde{\pi}_1(D_1)$  は  $\langle a_1, \dots, a_g; \tilde{r}'_1, \dots, \tilde{r}'_g \rangle$  (ここに,  $\tilde{r}'_i = W_i(g\#(a_1), \dots, g\#(a_g))$ ), 但し,  $g\#$  は  $\pi_1(T) = \langle a_1, \dots, a_g \rangle$  上の induced isomorphism) で与えられる。

証明.  $\tilde{\pi}_1(D_1)$  の定義より, 直接, 導かれる (c.f. [3], [4])。

定理1の証明.

注より,  $D = (\partial T; \mathcal{C}, g \circ f \circ \mathcal{C})$  としてよい。

Suzuki [9] により,  $g$  は  $S$ -generators (i.e.  $\{p^\pm, \omega_1^\pm, \rho_{12}^\pm, \tau_1^\pm, \theta_{12}^\pm, \xi_{12}^\pm\}$  cf. [9]) の積  $g_n \cdots g_1$  と isotopic. cyclically reduced presentation は isotopy invariant だから,

$\widehat{\pi}_1(D) \equiv \widehat{\pi}_1(\partial T; \theta, g_n \cdots g_1, \varphi_0 \circ \theta)$   
 ここで,  $\tau_1^\pm \# = 1$ ,  $\xi_{12}^\pm \# = 1$  に注意すれば, 前命題より,  $g_n, \dots, g_1$  には  $\tau_1^\pm, \xi_{12}^\pm$  は含まれていないとしてよい。i.e.  $g_n, \dots, g_1 \in \{p^\pm, \omega_1^\pm, \rho_{12}^\pm, \theta_{12}^\pm\}$   
 従って,  $\varphi_0^{-1} g_n \cdots g_1 \varphi_0 : \partial T \rightarrow \partial T$  は  $T$  上の向きを保つ homeomorphism  $g' : T \rightarrow T$  に拡張できる。なぜなら, 各  $\varphi_0^{-1} g_i \varphi_0$  が拡張可能だから。(より幾何的には,  $T$  が  $S^3$  に標準的に埋め込まれているとすると,  $g_i$  は  $S^3$  上の homeomorphism に拡張できることに対応する。) よって,

$$\begin{aligned} g_n \cdots g_1 \varphi_0 \circ \theta &= \varphi_0 \circ (\varphi_0^{-1} g_n \cdots g_1 \varphi_0) \circ \theta \\ &= \varphi_0 \circ g' \circ \theta \end{aligned}$$

となり,  $\theta = g' \circ \theta$  をうる。

参考。定理1は [5] の最後で, 「問題2から問題1はそう遠くないように思われる」と述べたことが正しいことを意味している。

2.  $S^3$  の種数 2 の Heegaard diagrams の応用

定義. words  $W_1, W_1', W_2$  が  $W_1 = W_1' W_2$  を満たすとき,  $\{W_1, W_2\}$  は 代入 により  $\{W_1', W_2\}$  に変形できるといひ,  $\{W_1, W_2\} \xrightarrow{S} \{W_1', W_2\}$  と書く.

次の問題 (cf. [4], [5]) を考える。

問題.  $S^3$  の任意の種数 2 の Heegaard diagram  $D$  による cyclically reduced presentation  $\tilde{\pi}_1(D) = \langle a_1, a_2; \tilde{r}_1, \tilde{r}_2 \rangle = \langle a_1, a_2; W_1, W_2 \rangle$  (即ち,  $\{\tilde{r}_1, \tilde{r}_2\} = \{W_1, W_2\}$ ) に対し, 代入  $\{W_1, W_2\} \xrightarrow{S} \{W_1', W_2\}$  で次を満たすものが存在するか?

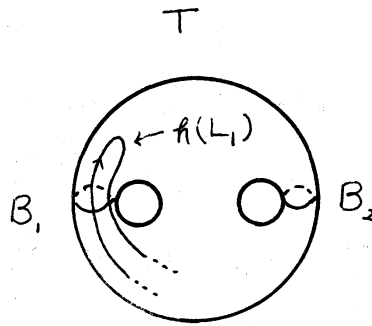
(\*)  $\left\{ \begin{array}{l} \{W_1', W_2\} \text{ の cyclically reduced form} \\ \{\tilde{W}_1', W_2\} \text{ は ある } S^3 \text{ の Heegaard diagram } D_1 \text{ の cyclically reduced presentation } \tilde{\pi}_1(D_1) = \langle a_1, a_2; \tilde{r}_1', \tilde{r}_2' \rangle \text{ の} \\ \text{set of relators } \{\tilde{r}_1', \tilde{r}_2'\} \text{ に対応する。} \end{array} \right.$

注. 肯定的な解決は「 $S^3$  の種数 2 の Heegaard diagram による基本群の表示は, cyclic reduction

, cyclic permutation, inversion 及び代入の繰り返しにより, trivial presentation  $\langle a_1, a_2; a_1, a_2 \rangle$  に変形できる。」(Cf. [4]) を含む。

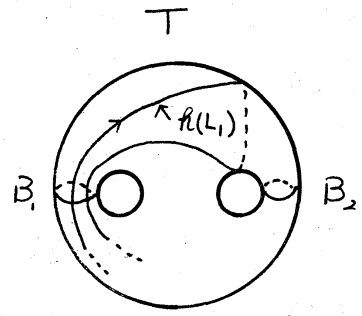
以下, この問題に対する現状を述べる。

定理1より, 一般の場合  $(\partial T; \phi, \varphi \neq \phi)$  が特別の場合  $(\partial T; Aa, \phi)$  ( $= D$  とおく。) に帰着された。これは, 更に, loop  $\ell(L_i)$  ( $i=1, 2$ ) に沿って,  $B_1, B_2$  との交わりを読んで得られる word  $W(\ell(L_i)) = W_i(\phi_1, \phi_2)$  ( $W_i(\phi_1, \phi_2)$  は文字  $\phi_1^{\pm}, \phi_2^{\pm}$  による word。i.e.  $\pi_1(D)$  をうるとき  $\phi$  の各 loop に沿って読むのと区別して,  $\ell(\phi)$  の各 loop に沿って読む場合, 文字  $a_1^{\pm}, a_2^{\pm}$  に代えて, 文字  $\phi_1^{\pm}, \phi_2^{\pm}$  を用いることにする。) の様子によって, 次の二つの場合に分けられる。まず,  $W(\ell(L_i))$  には isotopy で除ける annihilation part ( $\phi_j \phi_j^{-1}$  の  $\phi_j^{-1} \phi_j$ , 及び cyclic sense で  $\phi_j \cdots \phi_j^{-1}, \phi_j^{-1} \cdots \phi_j$ , Cf. 下図) は含まないものがある。(isotopy による変形は cyclically reduced presentation  $\pi_1(D)$  に累々響を与えない。) )



isotopy で除ける annihilation part  $\sigma, \sigma^{-1}$  を含む

(この場合ははじめから除外する)



isotopy では除けない annihilation part  $\sigma, \sigma^{-1}$  を含む

(この場合は起り得る)

Case 1.  $W(h(L_1)), W(h(L_2))$  はどちらも annihilation part (cyclic sense で) を持たない, i.e. cyclically reduced である。

Case 2.  $W(h(L_1)), W(h(L_2))$  は少なくとも一方が cyclically reduced である。

Case 1. について, 問題は肯定的に解決される。

実際, [5]' により,  $\{W(h(L_1)), W(h(L_2))\}$  の cyclically reduced form は cyclic permutation と inversion の組み合わせを除いて,

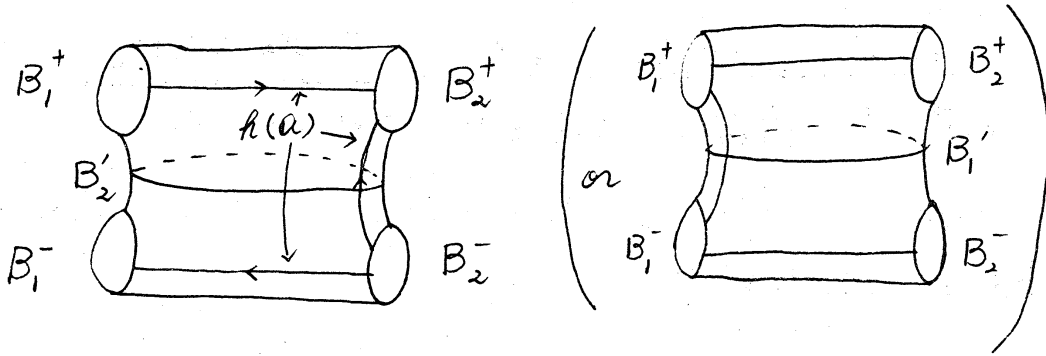
$$\{a_1 a_2^{\alpha_1} \dots a_1 a_2^{\alpha_k}, a_1 a_2^{\beta_1} \dots a_1 a_2^{\beta_{k'}}\}$$

}



(又は,  $\{ a_1^{\alpha_1} a_2 \dots a_1^{\alpha_k} a_2, a_1^{\beta_1} a_2 \dots a_1^{\beta_k} a_2 \}$ )

(ここに, すべての指数  $\alpha_1, \dots, \alpha_k, \beta_1, \dots, \beta_k$  は  $0$  ではなく, 同附号をもつ。) と表わされる。今,  $W(\mathcal{A}(L_1)), W(\mathcal{A}(L_2))$  はともに *cyclically reduced* であり,  $\partial T$  を  $\mathcal{A}$  で切り開いて得られる *cut diagram* ( $\partial T - \mathcal{A}, \mathcal{A} - \mathcal{A}$ ) は *up to homeomorphism* で, 下図の *type* となり, しかも,  $\alpha_1, \dots, \alpha_k, \beta_1,$



(ここに, 図上の *arc* は一般には *parallel* な複数の *arcs* を表わしてゐる。

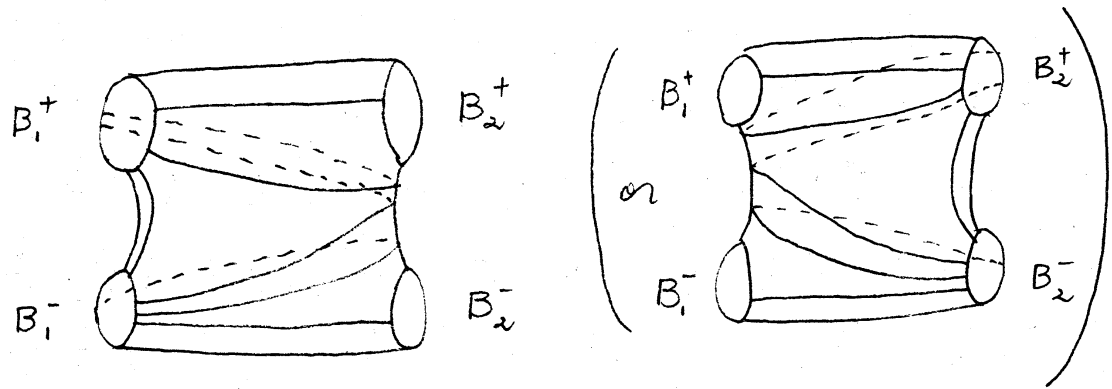
$\dots, \beta_k$  が同附号をもつことから, 図上の *parallel arcs* は同じ向きをもつ。従つて,  $\pi_1(D) = \langle a_1, a_2; \tilde{r}_1, \tilde{r}_2 \rangle$  において,  $\partial B_1, \partial B_2$  に沿つた  $h(a)$  との交わりの読み  $r_1, r_2$  はそれぞれ *cyclically reduced* i.e.  $\tilde{r}_1 = r_1, \tilde{r}_2 = r_2$  で, 図より明らかに,  $r_1$  は  $r_2$  に (或,  $r_2$  は  $r_1$  に) 代入でき, 更に代入により縮小された *word* は図中に示めされた

, 新たな meridian curve  $\partial B_2'$  (or  $\partial B_1'$ ) に沿った読みで得られるから,  $D_1 = (\partial T; \mathcal{A}(\mathcal{A}), \{B_1, B_2'\})$  (or  $= (\partial T; \mathcal{A}(\mathcal{A}), \{B_1', B_2\})$ ) が求める Heegaard diagram である。(  $D_1$  も又, Case 1 であることに注意すれば, Case 1 では, 代入の繰り返しで, trivial presentation  $\langle a_1, a_2; a_1, a_2 \rangle$  に変換できることがわかる。)

Case 2. 現在のところ, 不明である。

以下, その困難さの所在について触れておこう。

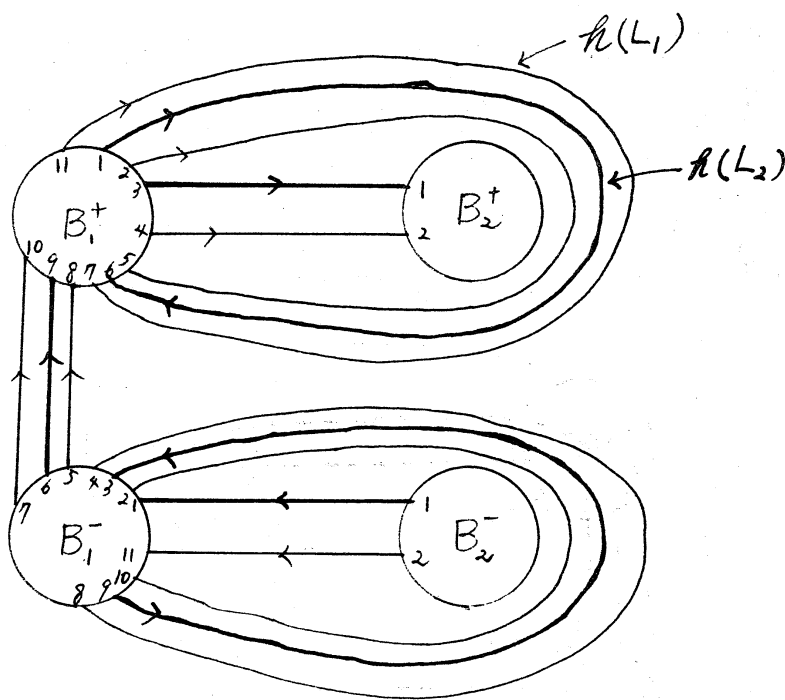
Case 1 と同様に,  $\partial B_1, \partial B_2$  による cut diagram を示せば, 次の形である。



この場合の本質的な困難は Case 1 と違って, parallel arcs が異なる向きをもち得ることにある。従って,  $\partial B_1, \partial B_2$  に沿った読み  $r_1, r_2$  は一般には, cyclically

reduced ではなく、それ故、cut diagram  
 から  $\tau_2$  が  $\tau_1$  (or  $\tau_1$  が  $\tau_2$ ) に代入可能は言えるが、  
 cyclically reduced form  $\hat{\tau}_1, \hat{\tau}_2$  については不明である。実際、次の例は「 $\hat{\tau}_2$  は  $\hat{\tau}_1$  に  
 代入可能であるが、 $\hat{\tau}_2$  は  $\hat{\tau}_1$  に代入不能」である。  
 (しかし、 $\hat{\tau}_1$  は  $\hat{\tau}_2$  に代入可能で、問題の反例ではない。)

例 1. ( $S^3$  について)



$$D = (\partial T; h(a), \sigma)$$

$$\pi_1(D) = \langle a_1, a_2; \tau_1, \tau_2 \rangle$$

$$r_1 = a_2 a_1 a_2 a_1 a_1^{-1} a_2^{-1} a_1^{-1} a_1^{-1} a_2^{-1} a_1^{-1} a_1,$$

$$r_2 = a_2 a_1$$

$$\tilde{r}_1 = a_1^{-1}, \quad \tilde{r}_2 = r_2 = a_2 a_1$$

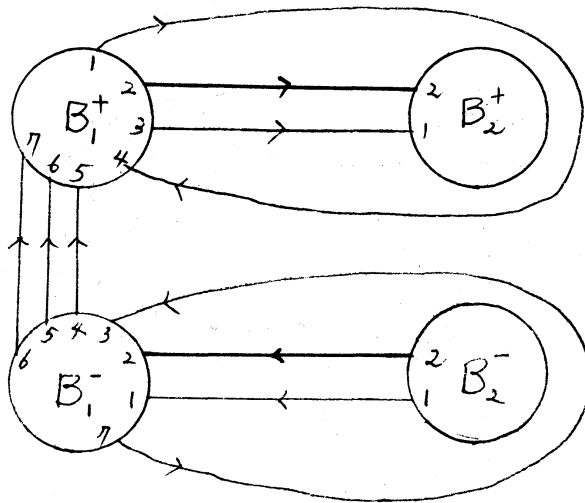
cut diagram がS, 明らかに,  $r_2$  は  $r_1$  に代入でき

$$\{r_1, r_2\} \xrightarrow{S} \{a_2 a_1, a_1^{-1} a_2^{-1} a_1^{-1} a_1^{-1} a_2^{-1} a_1^{-1} a_1, a_2 a_1\}$$

であるが,  $\tilde{r}_2$  は  $\tilde{r}_1$  に subword として含まれないので代入できない。

参考.  $S^3$  の Heegaard diagram に限らなければ, complete words  $r_1, r_2$  としてのみ代入可能で, cyclically reduced words  $\tilde{r}_1, \tilde{r}_2$  としては相互代入が不可能な例がある。(次の例2.)

例2. (Lens space  $L(3,1)$  について)



$$\begin{vmatrix} -2 & 1 \\ 1 & 1 \end{vmatrix} = -3$$

$$r_1 = a_1 a_2 a_1 a_1^{-1}, \quad r_2 = a_1 a_2, \quad \tilde{r}_1 = a_1^{-2} a_2, \quad \tilde{r}_2 = a_1 a_2$$

cut diagram かつ,  $r_2$  は  $r_1$  に代入でき,

$$\{r_1, r_2\} \xrightarrow{S} \{a_1, a_1^{-1}, a, a_2\}$$


であるが,  $\{r_1, r_2\}$  は相互代入不可。

### 3. wave と相互代入の独立性

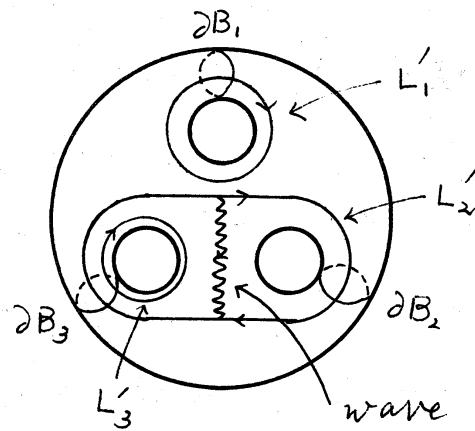
幾何的に Heegaard diagram の交点数を減らすような meridian curve の取り直しの簡単な方法として, 「Wave」 (cf. [10] [1] or Whitehead graph における cut vertex [11]) の概念がある。  $S^3$  の種数 2 の Heegaard diagrams については, 交点数が 3 以上のとき, 常に wave が存在する ([2]) が, 種数 3 以上のときは, 種数を越える交点数をもつ diagram で wave が存在しない例 ([12], [6], [8], [4]) が知られている。面白いことに, これらの例 ([4] を除く) はすべて, その cyclically reduced presentation の relations において相互代入が不能な例にもなっている。そこで, 「wave がなければ, relations の相互代入は不能か」という自然な問題が生じた。より一般に, 幾何的な概念, wave と代数的な概念, 相互代入の間の関係が問われた。これにつ

て、次を得た。

定理 2.  $S^3$  の種数 3 以上の Heegaard diagrams において、二つの概念 wave と相互代入は独立である。

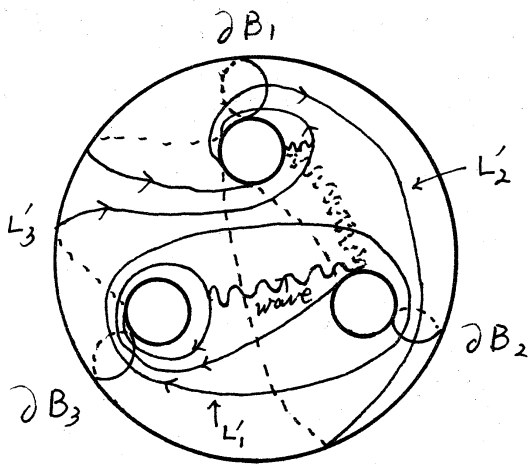
証明. 以下の種数 3 の例によって示めされる。  
種数 4 以上については種数 1 の自明な diagram  を connected sumすればよい。

例 3. Wave が存在しかつ代入可能な例。



$$r_1 = a_1, \quad r_2 = a_2, \quad r_3 = \underline{a_2} a_3, \quad r_2 \text{ は } r_3 \text{ に代入可.}$$

例 4. Wave は存在するが代入不能な例。



$\partial B_i$  に沿った読み:

$$r_1 = a_2 a_3^{-1} (= \hat{r}_1)$$

$$r_2 = a_2 a_1 (= \hat{r}_2)$$

$$r_3 = a_1 a_3^2 (= \hat{r}_3)$$

$L'_i$  に沿った読み:

$$r'_1 = a_2 a_3 (= \hat{r}'_1)$$

$$r'_2 = a_1 a_2 (= \hat{r}'_2)$$

$$r'_3 = a_3^2 a_1^{-1} (= \hat{r}'_3)$$

注。この diagram は  $(\partial T; \mathcal{C}, \mathcal{A}) (= (\partial T; \mathcal{C}, \mathcal{A}_0 \mathcal{C}))$  (ここに,  $\mathcal{A}$  は  $T$  上の向きを保つ homeomorphism) の type であり, 種数 2 ではこの type による cyclically reduced presentation は, 常に代入可能 ([5]) であることと比較すると, 一層, 興味深い例である。

例 5. wave は存在しないが代入可能な例。 ([4] の Example 3)

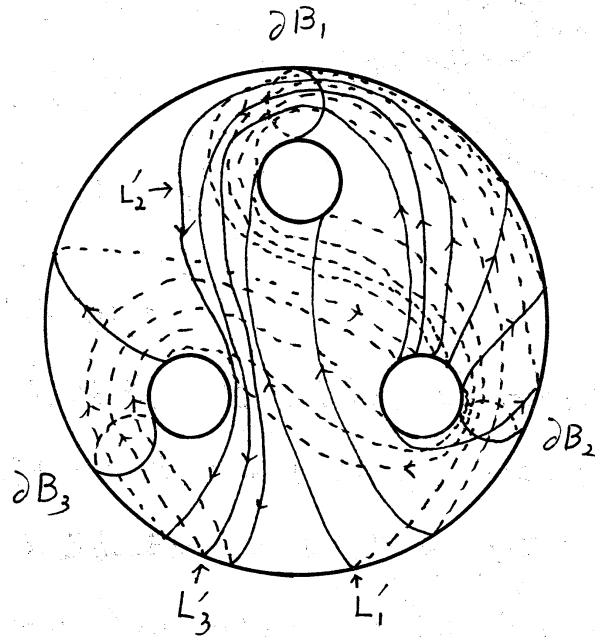
$$\partial B_i \text{ に沿った読み: } r_1 = a_3^{-1} a_2^{-1} a_1 a_3^{-1} a_2^{-3} (= \hat{r}_1)$$

$$r_2 = a_3^{-1} a_2^{-1} a_3 a_1^2 (= \hat{r}_2), \quad r_3 = a_3 a_2^2 (= \hat{r}_3)$$

$r_3$  に inversion と cyclic permutation を施す

ば,  $a_3^{-1} a_2^{-2}$  となり,  $r_1$  に代入可能。

$L'_1$  に沿った読み:  $r_1' = a_1 a_2^2 (= \widehat{r}_1)$ ,  $r_2' = a_3 a_1^{-1} a_3 a_2^{-1} a_1^{-3} (= \widehat{r}_2)$ ,  $r_3' = a_3 a_2^{-1} a_1^{-1} a_2 a_1^{-1} (= \widehat{r}_3')$ .  
これらは相互代入不可。



例. 6. wave は存在せず,  $\therefore$  代入不能な例.  
[12], [7] (以上, 種数3), [8] (種数4) の例が この例にもなっている。

### 参考文献

- [1]. J. S. Birman, Heegaard splittings, Diagrams and Sewings for closed



orientable 3-manifolds, lecture notes for CBMS conference at Oct. 8~12, 1977.

- [2] T. Homma, M. Ochiai and M. Takahashi, An algorithm for recognizing  $S^3$  in 3-manifold with Heegaard splittings of genus two, (to appear)
- [3] T. Kaneto,  $S^3$  の Heegaard 分解 1- $\mathbb{Z}_3$   $\pi_1$  の表示について, 数理研講究録 297 (1977), 69-84.
- [4] ———, On presentations of the fundamental group of the 3-sphere associated with Heegaard diagrams, J. Math. Soc. Japan (To appear)
- [5] ———,  $S^3$  の種数 2 の Heegaard diagrams に対する基本群の表示について, 数理研講究録, 369 (1979), 144-163
- [5]' ———, a characterization of the special loops on a genus 2 solid torus, preprint.
- [6] O. Morikawa, Poincaré 予想 1- $\mathbb{Z}_3$

- Computer 実験 (反例を求めた), 数理  
 研講究録 346 (1979), 29-58
- [7] \_\_\_\_\_, A counterexample to a  
 conjecture of Whitehead, Math. Sem.  
 Notes Kobe Univ, (to appear)
- [8] M. Ochiai, A counterexample to a conjecture  
 of Whitehead and Volodin-Kuznetsov -  
 Fomenko, J. Math. Soc. Japan, vol 31  
 (1979), 687-691
- [9] S. Suzuki, On homeomorphisms of a 3-  
 dimensional handlebody, Can. J. Math.  
 29 (1977), 111-124
- [10] J. A. Volodin, V. E. Kuznetsov and A. T.  
 Fomenko, The problem of discriminat-  
 ing algorithmically the standard three  
 - dimensional sphere, Russian Math.  
 Surveys, 29; 5 (1974), 71-172
- [11] J. H. C. Whitehead, On certain sets  
 of elements in a free group, London  
 Math. Soc (2) 41 (1936), 48-56
- [12] O. Ja. Viro and Kobel'skiĭ, V. L., The

Volodin - Kuznetsov - Fomenko conjecture on Heegaard diagrams is false  
, *Uspehi Mat. Nauk* 32 (1977) no.5  
(1977), 175 - 176